

Complexité lissée d'enveloppe convexe

Xavier Goaoc (LIGM)

Travail mené avec Olivier Devillers, Marc Glisse et Rémy Thomasse (Inria)



1. Questions

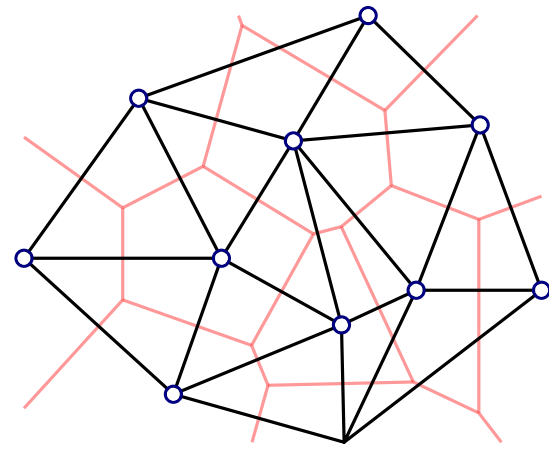
2. Réponses

3. Technique

Triangulation de Delaunay d'un ensemble P de points de \mathbb{R}^d .

Décomposition de $\text{conv}(P)$ en simplexes

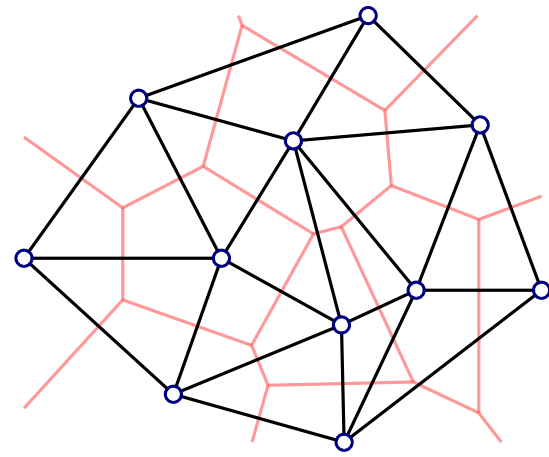
$(d + 1)$ -uplets de points de sphère circonscrite vide



Triangulation de Delaunay d'un ensemble P de points de \mathbb{R}^d .

Décomposition de $\text{conv}(P)$ en simplexes

$(d + 1)$ -uplets de points de sphère circonscrite vide



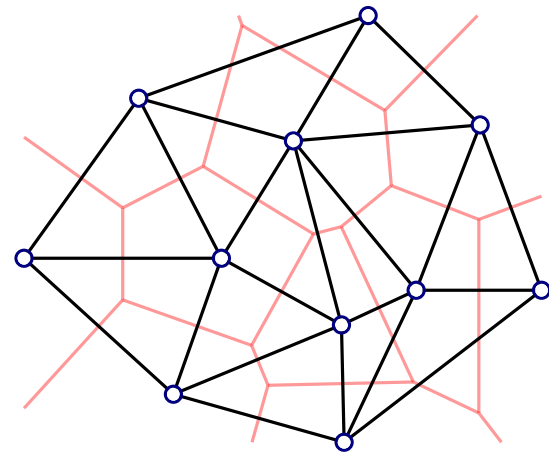
Nombre d'arêtes d'une triangulation de Delaunay sur V sommets ?

Complexité d'algorithmes, espace mémoire
asymptotique $V \rightarrow \infty$

Triangulation de Delaunay d'un ensemble P de points de \mathbb{R}^d .

Décomposition de $\text{conv}(P)$ en simplexes

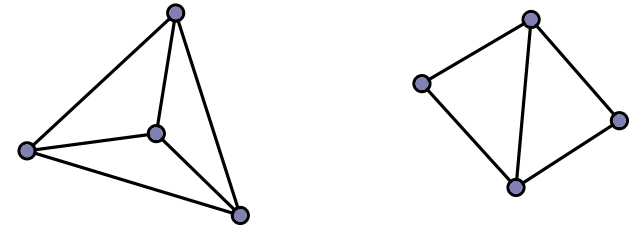
$(d + 1)$ -uplets de points de sphère circonscrite vide



Nombre d'arêtes d'une triangulation de Delaunay sur V sommets ?

Complexité d'algorithmes, espace mémoire
asymptotique $V \rightarrow \infty$

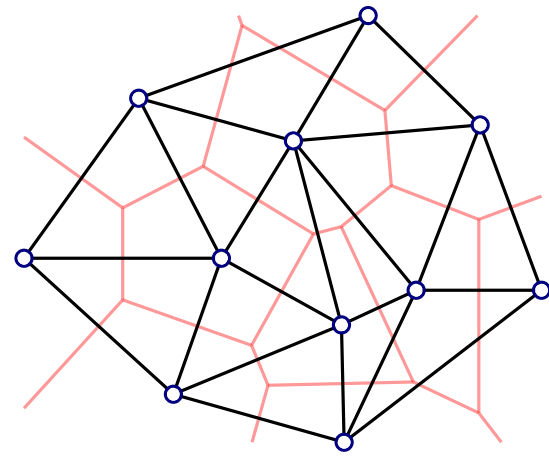
Dépend de la **position** des points.



Triangulation de Delaunay d'un ensemble P de points de \mathbb{R}^d .

Décomposition de $\text{conv}(P)$ en simplexes

$(d + 1)$ -uplets de points de sphère circonscrite vide



Nombre d'arêtes d'une triangulation de Delaunay sur V sommets ?

Complexité d'algorithmes, espace mémoire
asymptotique $V \rightarrow \infty$

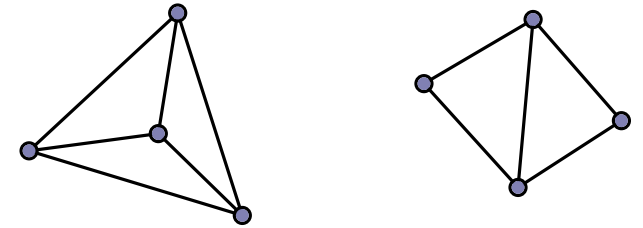
Dépend de la **position** des points.

$d = 2$: **Linéaire**

$$2V - 3 \leq E \leq 3V - 6$$

Formule d'Euler $V - E + F = 2$

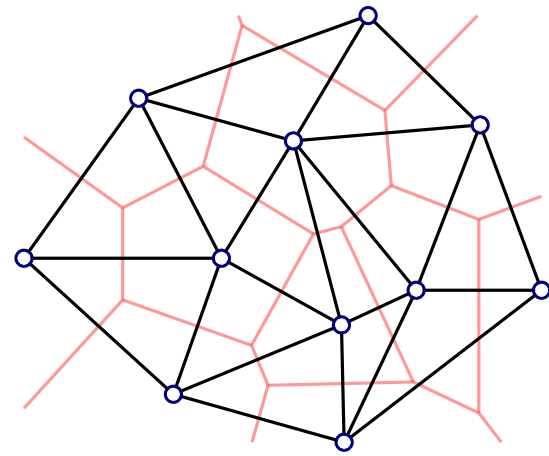
Double comptage $3(F - 1) + e(CH) = 2E$



Triangulation de Delaunay d'un ensemble P de points de \mathbb{R}^d .

Décomposition de $\text{conv}(P)$ en simplexes

$(d + 1)$ -uplets de points de sphère circonscrite vide



Nombre d'arêtes d'une triangulation de Delaunay sur V sommets ?

Complexité d'algorithmes, espace mémoire asymptotique $V \rightarrow \infty$

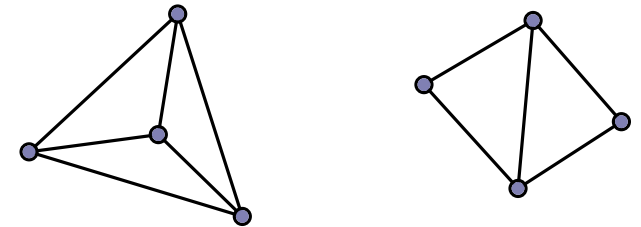
Dépend de la **position** des points.

$d = 2$: Linéaire

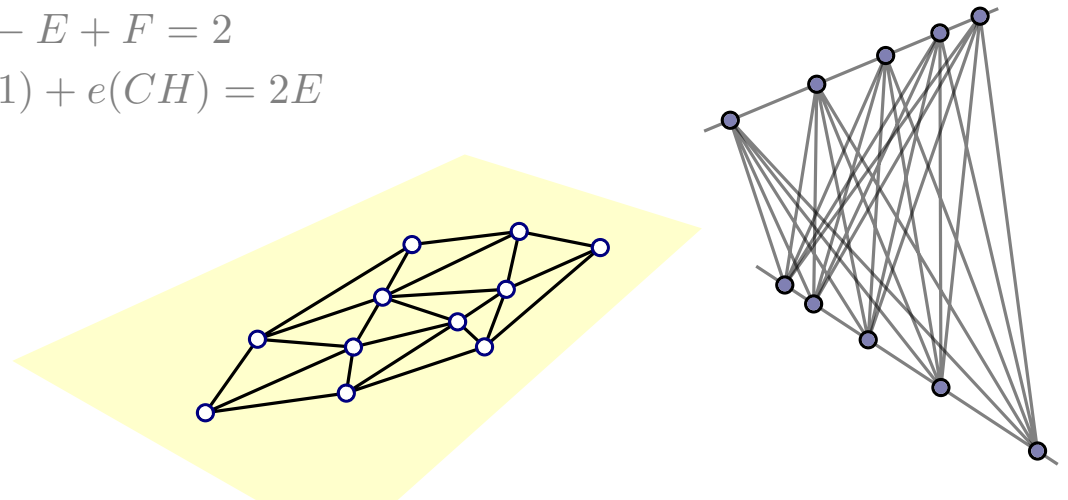
$$2V - 3 \leq E \leq 3V - 6$$

Formule d'Euler $V - E + F = 2$

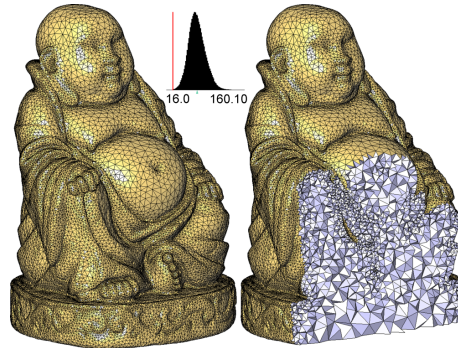
Double comptage $3(F - 1) + e(CH) = 2E$



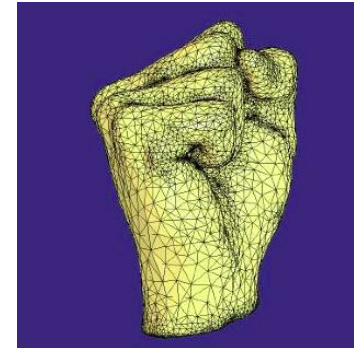
$d = 3$: Entre linéaire et quadratique



L'écart entre linéaire et quadratique est décisif pour de nombreuses applications.



(Image : INRIA Geometrica)

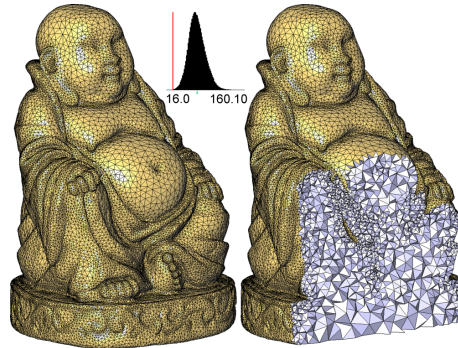


(Image : Nina Amenta)

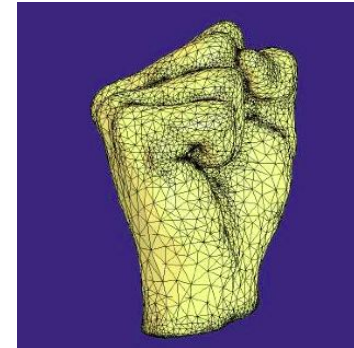
infographie
geometric processing
CAO

$V \simeq 10^5$ courant.

L'écart entre linéaire et quadratique est décisif pour de nombreuses applications.



(Image : INRIA Geometrica)



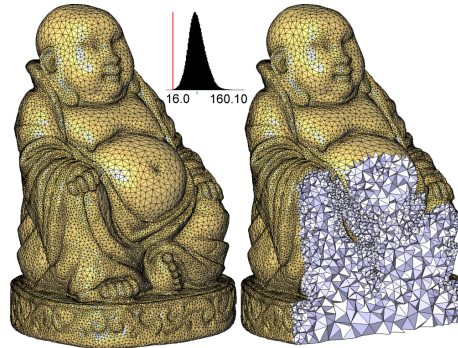
(Image : Nina Amenta)

infographie
geometric processing
CAO

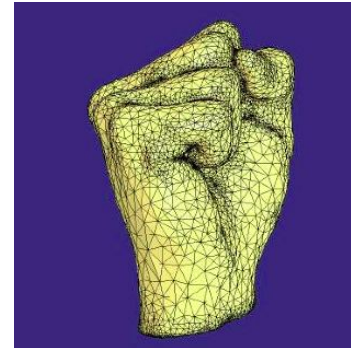
$V \simeq 10^5$ courant.

Constat empirique : E est généralement **quasi-linéaire** en V pour $d = 3$.

L'écart entre linéaire et quadratique est décisif pour de nombreuses applications.



(Image : INRIA Geometrica)



(Image : Nina Amenta)

infographie
geometric processing
CAO

$V \simeq 10^5$ courant.

Constat empirique : E est généralement **quasi-linéaire** en V pour $d = 3$.

Tentatives d'explication... peu concluantes.

★ prise en compte de la densité via $\frac{\text{distance minimale}}{\text{diametre}}$ [Erickson'03][Erickson'05]
ou des densités min/max [Attali-Boissonnat'04][Amenta-Attali-Devillers'12]

Pas quasilinéaire, sur-échantillonné.

★ bornes sur l'espérance pour des distributions dans un volume [Dwyer'93], sur un polyèdre [Golin-Na'03]... ou sur une surface lisse [Attali-Boissonnat-Lieutier'03] [Devillers-Erickson-G'08]...

pas de modèle statistique

Complexité lissée : formulation probabiliste pertinente **sans** modèle statistique.

$$\mathcal{D}(n, \mu) = \max_{\substack{p_1^*, p_2^*, \dots, p_n^* \in \mathbb{R}^d \\ \text{diam}(p_1^*, p_2^*, \dots, p_n^*) \leq 1}} \mathbb{E} [\#DT(p_1^* + \eta_1, p_2^* + \eta_2, \dots, p_n^* + \eta_n)]$$

η_i variable aléatoire de loi μ .

$\#DT(P)$: nombre d'arêtes de la triangulation de Delaunay de P

Complexité lissée : formulation probabiliste pertinente **sans** modèle statistique.

$$\mathcal{D}(n, \mu) = \max_{\substack{p_1^*, p_2^*, \dots, p_n^* \in \mathbb{R}^d \\ \text{diam}(p_1^*, p_2^*, \dots, p_n^*) \leq 1}} \mathbb{E} [\#DT(p_1^* + \eta_1, p_2^* + \eta_2, \dots, p_n^* + \eta_n)]$$

η_i variable aléatoire de loi μ .

$\#DT(P)$: nombre d'arêtes de la triangulation de Delaunay de P

Exprime le cas le pire **après** petite perturbation.

Quantifie la résilience des pire cas à perturbation.

Petites perturbations **plausible** dans cadre applicatif : coordonnées tronquées, erreurs de mesures...

Amplitude de la perturbation indépendante ou fonction de n .

Complexité lissée : formulation probabiliste pertinente **sans** modèle statistique.

$$\mathcal{D}(n, \mu) = \max_{\substack{p_1^*, p_2^*, \dots, p_n^* \in \mathbb{R}^d \\ \text{diam}(p_1^*, p_2^*, \dots, p_n^*) \leq 1}} \mathbb{E} [\#DT(p_1^* + \eta_1, p_2^* + \eta_2, \dots, p_n^* + \eta_n)]$$

η_i variable aléatoire de loi μ .

$\#DT(P)$: nombre d'arêtes de la triangulation de Delaunay de P

Exprime le cas le pire **après** petite perturbation.

Quantifie la résilience des pire cas à perturbation.

Petites perturbations **plausible** dans cadre applicatif : coordonnées tronquées, erreurs de mesures...

Amplitude de la perturbation indépendante ou fonction de n .

Introduite pour expliquer l'efficacité de l'algorithme du simplexe [**Spielman-Tang'04**]

$$\mathcal{D}(n, \mu) = \max_{\substack{p_1^*, p_2^*, \dots, p_n^* \in \mathbb{R}^d \\ \text{diam}(p_1^*, p_2^*, \dots, p_n^*) \leq 1}} \mathbb{E} [\#DT(p_1^* + \eta_1, p_2^* + \eta_2, \dots, p_n^* + \eta_n)]$$

Aucun résultat non trivial sur la complexité lissée de la triangulation de Delaunay.

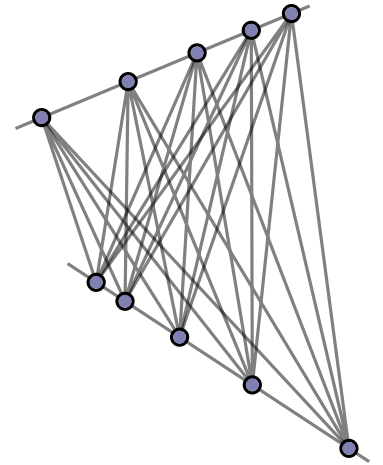
$$\mathcal{D}(n, \mu) = \max_{\substack{p_1^*, p_2^*, \dots, p_n^* \in \mathbb{R}^d \\ \text{diam}(p_1^*, p_2^*, \dots, p_n^*) \leq 1}} \mathbb{E} [\#DT(p_1^* + \eta_1, p_2^* + \eta_2, \dots, p_n^* + \eta_n)]$$

Aucun résultat non trivial sur la complexité lissée de la triangulation de Delaunay.

Exemples de questions pertinentes.

★ $\mu = \mathcal{N}(0, \sigma^2 I_d)$ ou $\mu = \mathbf{1}_{\mathbb{B}_d(O, \delta)}$.

★ Cas où $p_1^*, p_2^*, \dots, p_n^*$ ont une DT quadratique (ie. sans faire le max).



(Ne pas hésiter à signaler les réponses à goaoc@u-pem.fr)

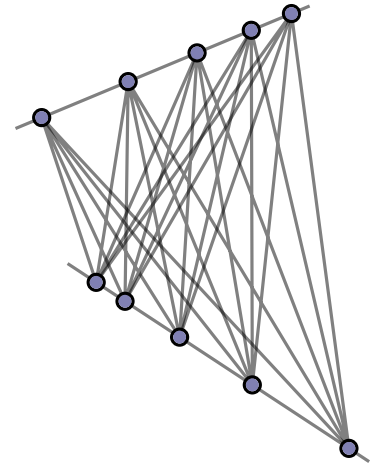
$$\mathcal{D}(n, \mu) = \max_{\substack{p_1^*, p_2^*, \dots, p_n^* \in \mathbb{R}^d \\ \text{diam}(p_1^*, p_2^*, \dots, p_n^*) \leq 1}} \mathbb{E} [\#DT(p_1^* + \eta_1, p_2^* + \eta_2, \dots, p_n^* + \eta_n)]$$

Aucun résultat non trivial sur la complexité lissée de la triangulation de Delaunay.

Exemples de questions pertinentes.

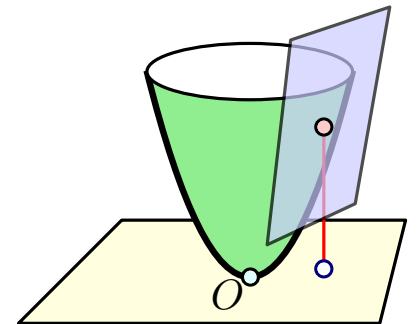
★ $\mu = \mathcal{N}(0, \sigma^2 I_d)$ ou $\mu = \mathbf{1}_{\mathbb{B}_d(O, \delta)}$.

★ Cas où $p_1^*, p_2^*, \dots, p_n^*$ ont une DT quadratique (ie. sans faire le max).



(Ne pas hésiter à signaler les réponses à goaoc@u-pem.fr)

On a des résultats sur la complexité lissée de l'enveloppe convexe.



1. Questions

2. Réponses

3. Technique

Complexité lissée des enveloppes convexes.

$$\mathcal{S}(n, \mu) = \max_{\substack{p_1^*, p_2^*, \dots, p_n^* \in \mathbb{R}^d \\ \text{diam}(p_1^*, p_2^*, \dots, p_n^*) \leq 1}} \mathbb{E} [\#CH(p_1^* + \eta_1, p_2^* + \eta_2, \dots, p_n^* + \eta_n)]$$

η_i variable aléatoire de loi μ .

$\#CH(P)$: nombre de faces (toutes dimensions) de l'enveloppe convexe de P

Deux modèles de perturbation : **Gaussien** $\mu = \mathcal{N}(O, \sigma^2 I_d)$ et **Euclidien** $\mu = \mathbf{1}_{\mathbb{B}_d(O, \delta)}$.

Complexité lissée des enveloppes convexes.

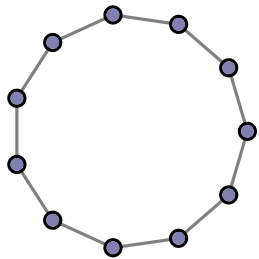
$$\mathcal{S}(n, \mu) = \max_{\substack{p_1^*, p_2^*, \dots, p_n^* \in \mathbb{R}^d \\ \text{diam}(p_1^*, p_2^*, \dots, p_n^*) \leq 1}} \mathbb{E} [\#CH(p_1^* + \eta_1, p_2^* + \eta_2, \dots, p_n^* + \eta_n)]$$

η_i variable aléatoire de loi μ .

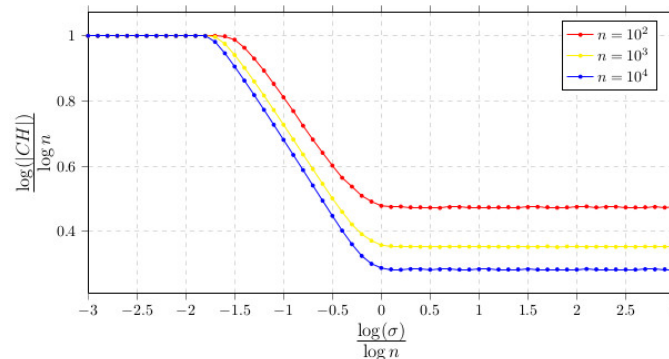
$\#CH(P)$: nombre de faces (toutes dimensions) de l'enveloppe convexe de P

Deux modèles de perturbation : **Gaussien** $\mu = \mathcal{N}(O, \sigma^2 I_d)$ et **Euclidien** $\mu = \mathbf{1}_{\mathbb{B}_d(O, \delta)}$.

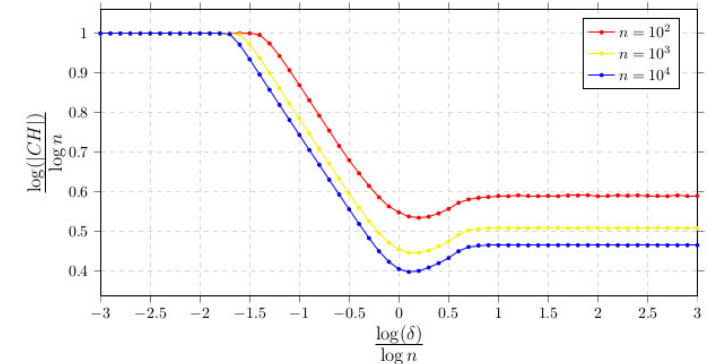
Simulations



Sommets d'un n -gone régulier



Gaussien



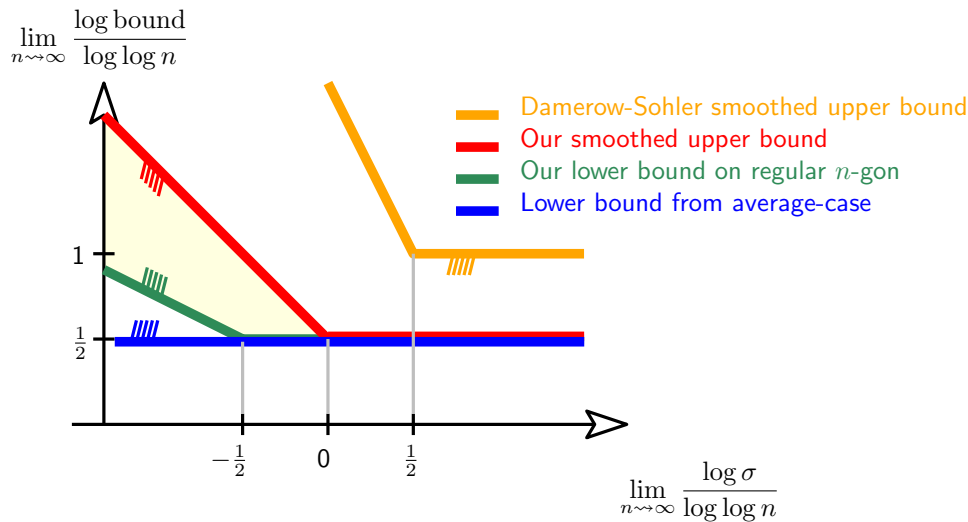
Euclidien

$$\mathcal{S}(n, \mu) = \max_{\substack{p_1^*, p_2^*, \dots, p_n^* \in \mathbb{R}^d \\ \text{diam}(p_1^*, p_2^*, \dots, p_n^*) \leq 1}} \mathbb{E} [\#CH(p_1^* + \eta_1, p_2^* + \eta_2, \dots, p_n^* + \eta_n)]$$

η_i variable aléatoire de loi μ .

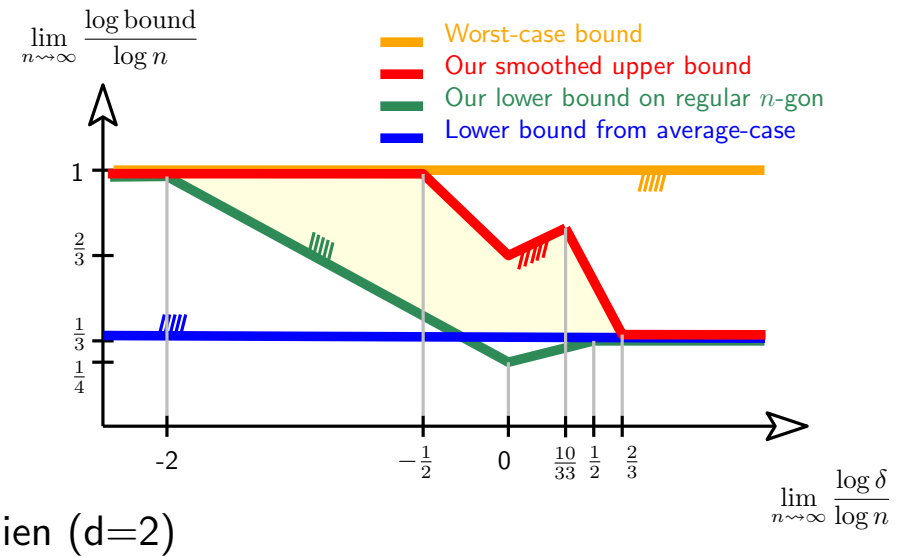
$\#CH(P)$: nombre de faces (toutes dimensions) de l'enveloppe convexe de P

Résultats :

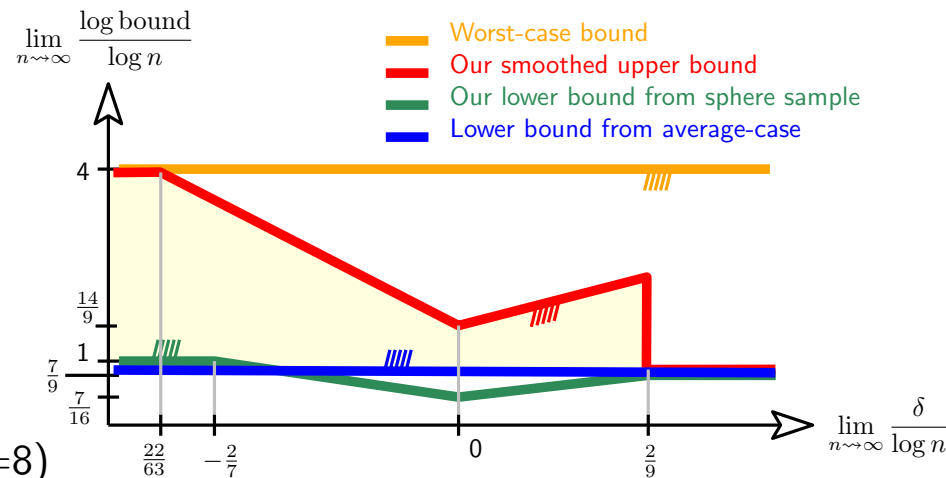


Gaussien (d=2)

$$\mathcal{S}(n, \mathcal{N}(O, \sigma^2 I_2)) = O\left(\frac{\sqrt{\log n}}{\sigma} + \sqrt{\log n}\right)$$



Euclidien (d=2)



Euclidien (d=8)

1. Questions

2. Réponses

3. Technique

Point de vue "hypergraphe géométrique"

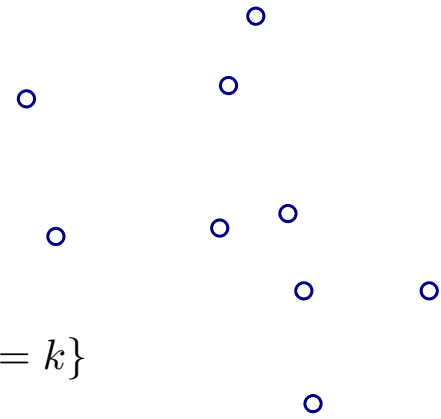
Pour tout sous-ensemble fini $P \subset \mathbb{R}^d$

$\mathcal{H}(P) = \{P \cap h : h \text{ un demi-espace (fermé) de } \mathbb{R}^d\}$ et $\mathcal{H}^{(k)}(P) = \{X \in \mathcal{H}(P) : |X| = k\}$

q sommet de $CH(P) \Leftrightarrow q \in \mathcal{H}^{(1)}(P)$

$\{q, r\}$ arête de $CH(P) \Rightarrow \{q, r\} \in \mathcal{H}^{(2)}(P)$.

faces de $CH(P)$ de dimension $k \subseteq \mathcal{H}^{(k+1)}(P)$



Point de vue "hypergraphe géométrique"

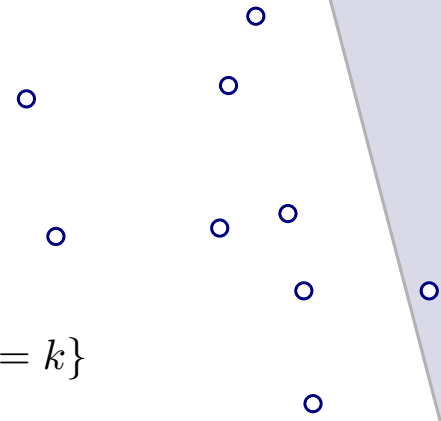
Pour tout sous-ensemble fini $P \subset \mathbb{R}^d$

$\mathcal{H}(P) = \{P \cap h : h \text{ un demi-espace (fermé) de } \mathbb{R}^d\}$ et $\mathcal{H}^{(k)}(P) = \{X \in \mathcal{H}(P) : |X| = k\}$

q sommet de $CH(P) \Leftrightarrow q \in \mathcal{H}^{(1)}(P)$

$\{q, r\}$ arête de $CH(P) \Rightarrow \{q, r\} \in \mathcal{H}^{(2)}(P)$.

faces de $CH(P)$ de dimension $k \subseteq \mathcal{H}^{(k+1)}(P)$



Point de vue "hypergraphe géométrique"

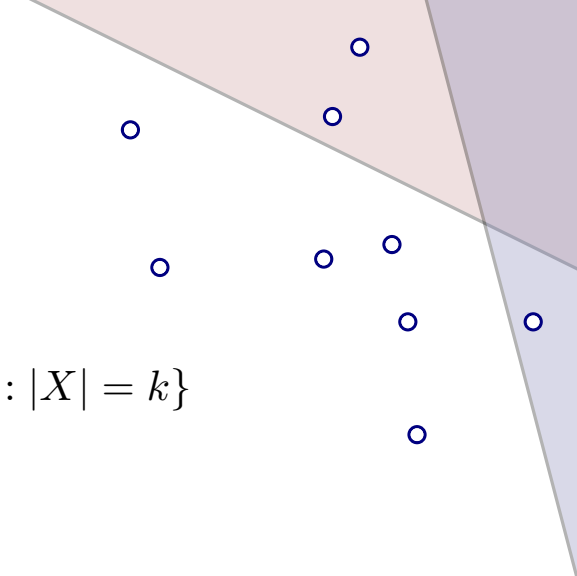
Pour tout sous-ensemble fini $P \subset \mathbb{R}^d$

$\mathcal{H}(P) = \{P \cap h : h \text{ un demi-espace (fermé) de } \mathbb{R}^d\}$ et $\mathcal{H}^{(k)}(P) = \{X \in \mathcal{H}(P) : |X| = k\}$

q sommet de $CH(P) \Leftrightarrow q \in \mathcal{H}^{(1)}(P)$

$\{q, r\}$ arête de $CH(P) \Rightarrow \{q, r\} \in \mathcal{H}^{(2)}(P)$.

faces de $CH(P)$ de dimension $k \subseteq \mathcal{H}^{(k+1)}(P)$



Point de vue "hypergraphe géométrique"

Pour tout sous-ensemble fini $P \subset \mathbb{R}^d$

$\mathcal{H}(P) = \{P \cap h : h \text{ un demi-espace (fermé) de } \mathbb{R}^d\}$ et $\mathcal{H}^{(k)}(P) = \{X \in \mathcal{H}(P) : |X| = k\}$

q sommet de $CH(P) \Leftrightarrow q \in \mathcal{H}^{(1)}(P)$

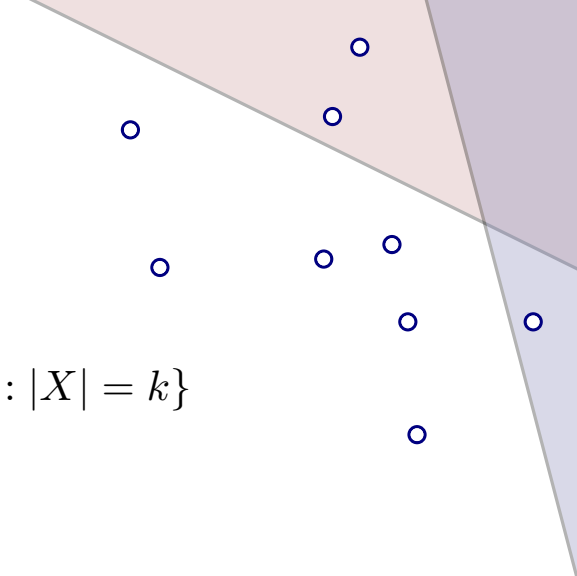
$\{q, r\}$ arête de $CH(P) \Rightarrow \{q, r\} \in \mathcal{H}^{(2)}(P)$.

faces de $CH(P)$ de dimension $k \subseteq \mathcal{H}^{(k+1)}(P)$

Pour un ensemble aléatoire fini de points $P \subset \mathbb{R}^d$

$$\mathbb{E}[\#CH(P)] \leq \mathbb{E} \left[\sum_{k=1}^{k=d+1} |\mathcal{H}^{(k)}(P)| \right]$$

Objectif : estimer $\mathbb{E}[|\mathcal{H}^{(k)}(P)|]$ pour k fixé.



Point de vue "hypergraphe géométrique"

Pour tout sous-ensemble fini $P \subset \mathbb{R}^d$

$\mathcal{H}(P) = \{P \cap h : h \text{ un demi-espace (fermé) de } \mathbb{R}^d\}$ et $\mathcal{H}^{(k)}(P) = \{X \in \mathcal{H}(P) : |X| = k\}$

q sommet de $CH(P) \Leftrightarrow q \in \mathcal{H}^{(1)}(P)$

$\{q, r\}$ arête de $CH(P) \Rightarrow \{q, r\} \in \mathcal{H}^{(2)}(P)$.

faces de $CH(P)$ de dimension $k \subseteq \mathcal{H}^{(k+1)}(P)$

Pour un ensemble aléatoire fini de points $P \subset \mathbb{R}^d$

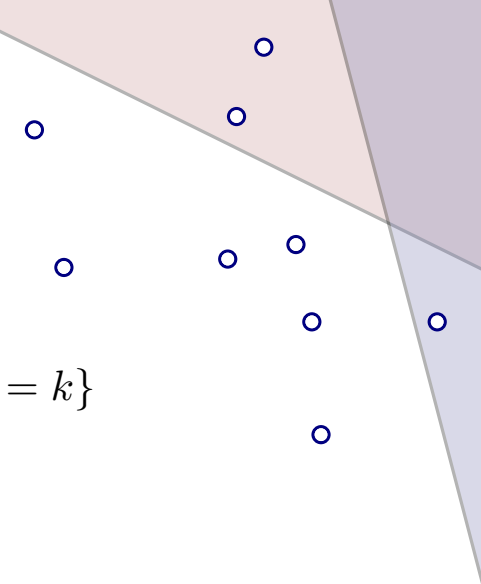
$$\mathbb{E}[\#CH(P)] \leq \mathbb{E} \left[\sum_{k=1}^{k=d+1} |\mathcal{H}^{(k)}(P)| \right]$$

Objectif : estimer $\mathbb{E}[|\mathcal{H}^{(k)}(P)|]$ pour k fixé.

On construit des triplet (W, C, R) **adapté** à P

- ★ R un ensemble de demi-espaces.
- ★ $W \subseteq C$ deux sous-ensembles de \mathbb{R}^d
- ★ Pour tout $h \in R$, $h \cap P$ contient $W \cap P$ ou est contenu dans $C \cap P$.

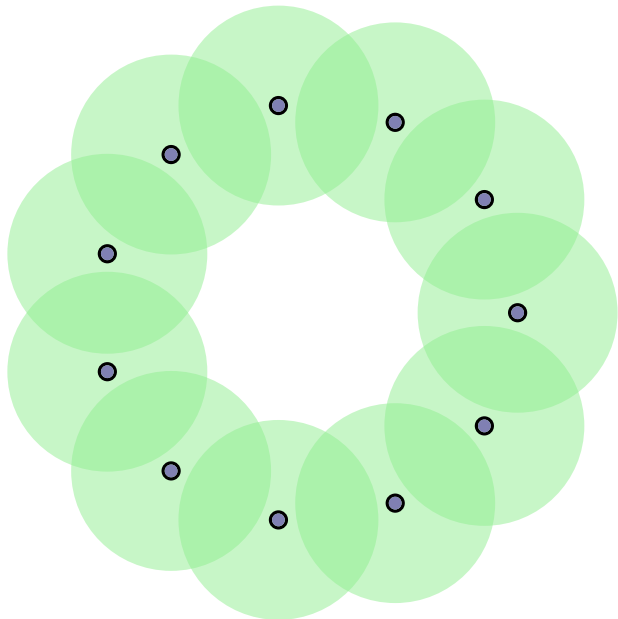
On estime le nombre d'éléments de $\mathcal{H}^{(k)}(P)$ "produits" par R en conditionnant sur l'événement $|W \cap P| \geq k$.



- ★ R un ensemble de demi-espaces.
- ★ $W \subseteq C$ deux sous-ensembles de \mathbb{R}^d
- ★ Pour tout $h \in R$, $h \cap P$ contient $W \cap P$ ou est contenu dans $C \cap P$.

On estime le nombre d'éléments de $\mathcal{H}^{(k)}(P)$ "produits" par R en conditionnant sur l'événement $|W \cap P| \geq k$.

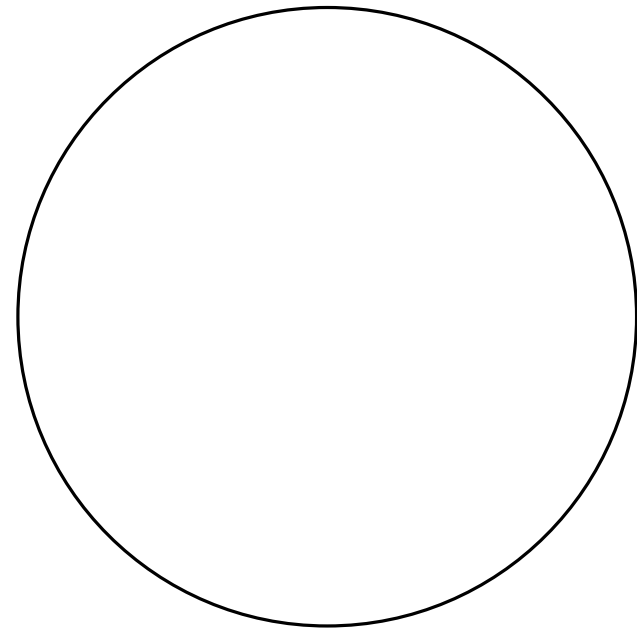
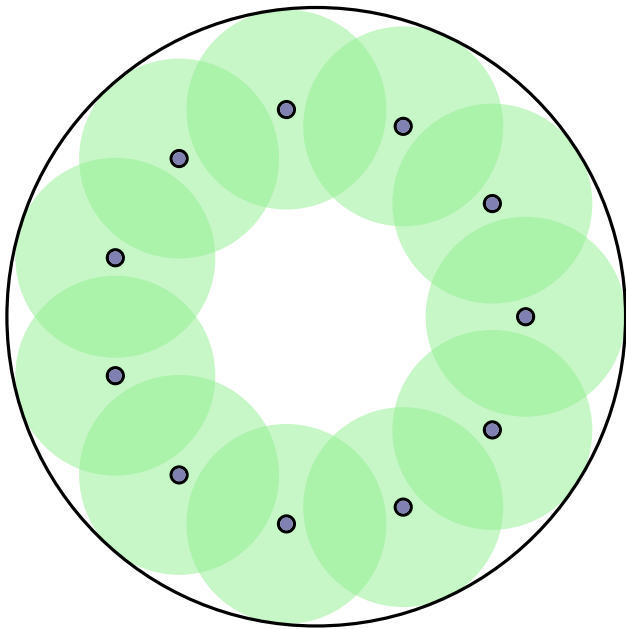
Exemple : perturbation euclidienne des sommets du n -gone



- ★ R un ensemble de demi-espaces.
- ★ $W \subseteq C$ deux sous-ensembles de \mathbb{R}^d
- ★ Pour tout $h \in R$, $h \cap P$ contient $W \cap P$ ou est contenu dans $C \cap P$.

On estime le nombre d'éléments de $\mathcal{H}^{(k)}(P)$ "produits" par R en conditionnant sur l'événement $|W \cap P| \geq k$.

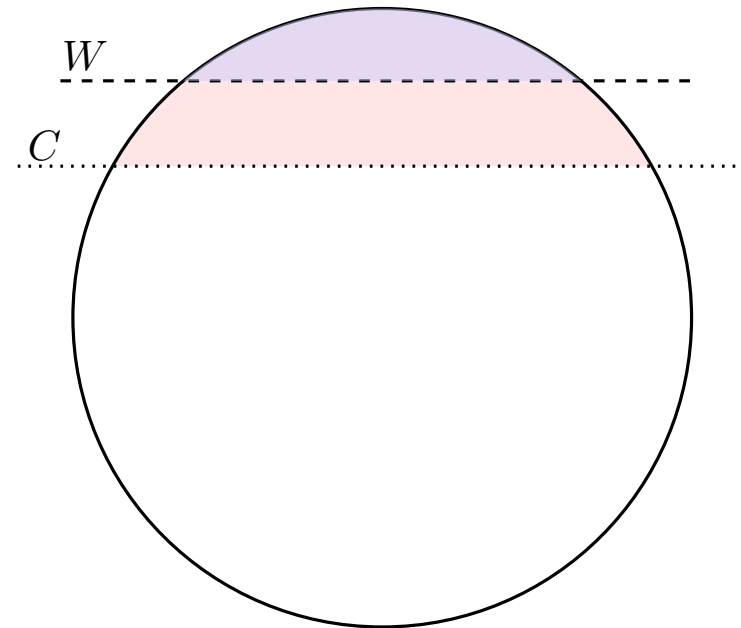
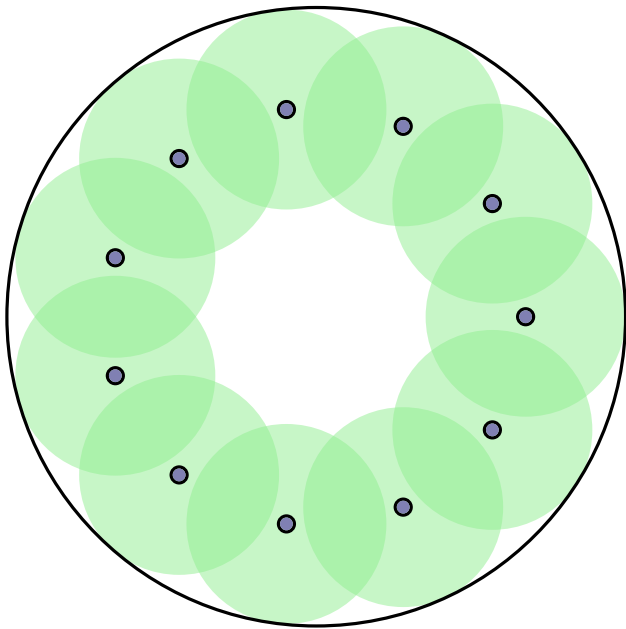
Exemple : perturbation euclidienne des sommets du n -gone



- ★ R un ensemble de demi-espaces.
- ★ $W \subseteq C$ deux sous-ensembles de \mathbb{R}^d
- ★ Pour tout $h \in R$, $h \cap P$ contient $W \cap P$ ou est contenu dans $C \cap P$.

On estime le nombre d'éléments de $\mathcal{H}^{(k)}(P)$ "produits" par R en conditionnant sur l'événement $|W \cap P| \geq k$.

Exemple : perturbation euclidienne des sommets du n -gone



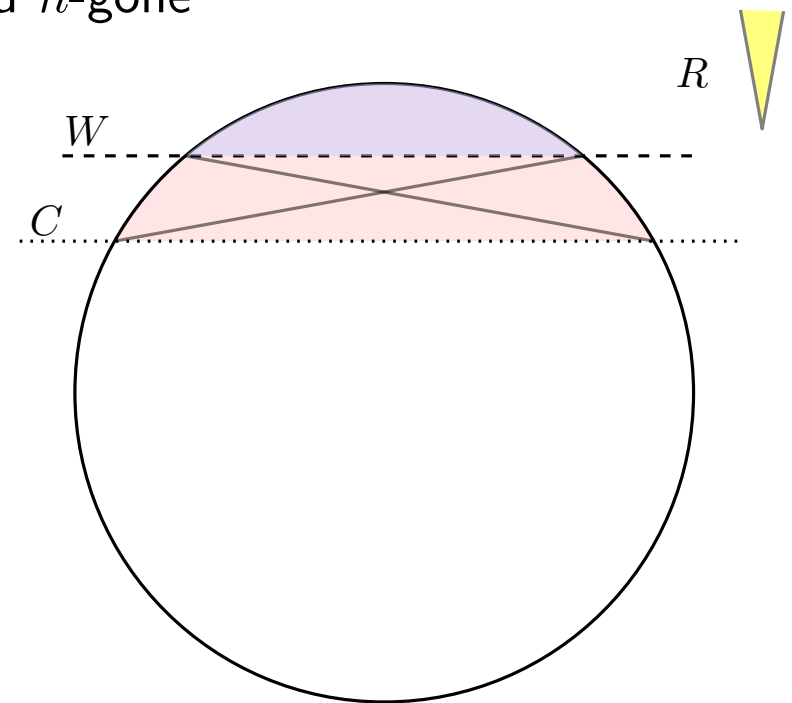
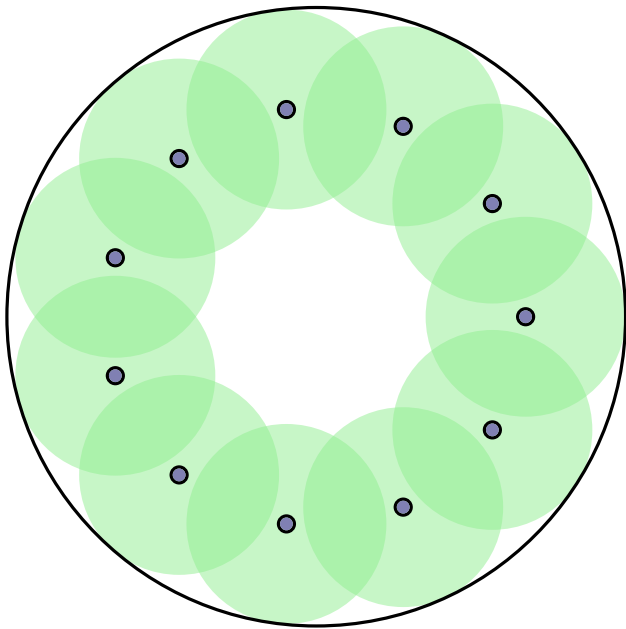
Ajuster les profondeurs de W et C afin que $\mathbb{E}[W \cap P] = k \log n$ et $\mathbb{E}[C \cap P] = O(\log n)$

Borne de Chernoff $\Rightarrow W$ contient k points avec forte probabilité

- ★ R un ensemble de demi-espaces.
- ★ $W \subseteq C$ deux sous-ensembles de \mathbb{R}^d
- ★ Pour tout $h \in R$, $h \cap P$ contient $W \cap P$ ou est contenu dans $C \cap P$.

On estime le nombre d'éléments de $\mathcal{H}^{(k)}(P)$ "produits" par R en conditionnant sur l'événement $|W \cap P| \geq k$.

Exemple : perturbation euclidienne des sommets du n -gone



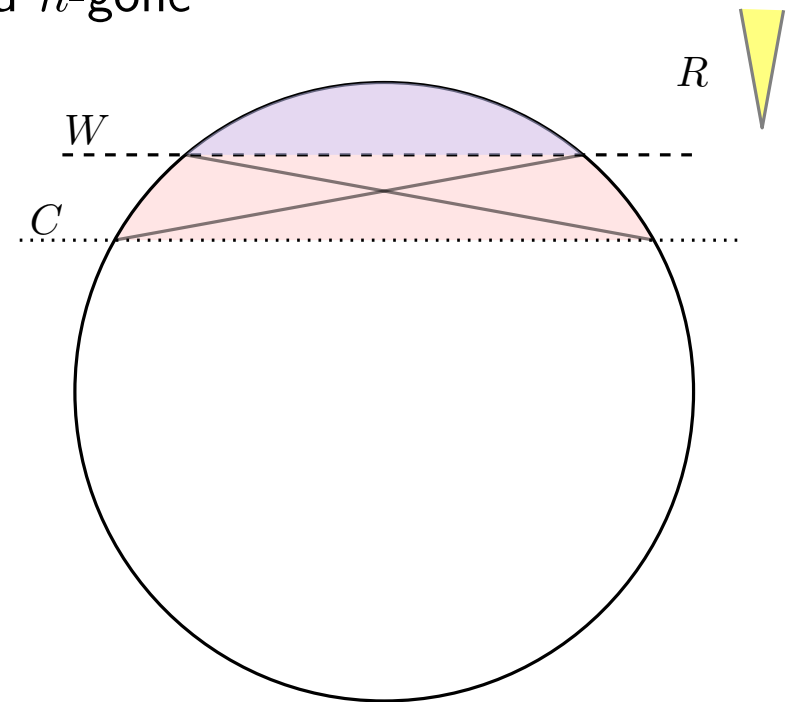
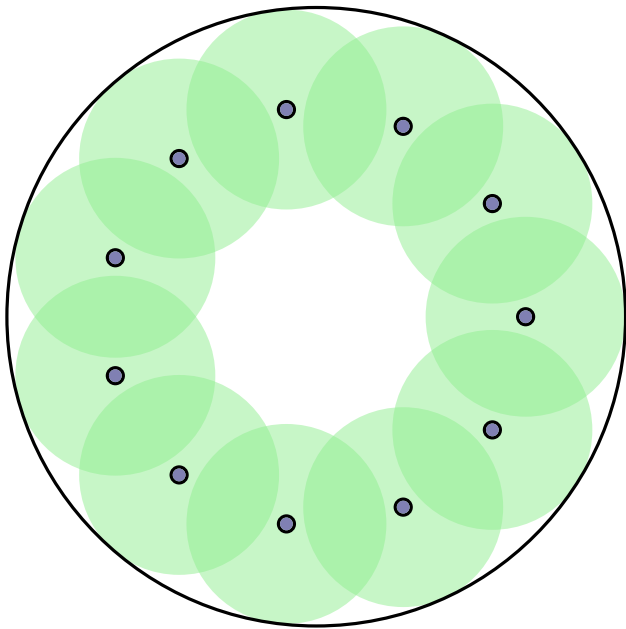
Ajuster les profondeurs de W et C afin que $\mathbb{E}[W \cap P] = k \log n$ et $\mathbb{E}[C \cap P] = O(\log n)$

Borne de Chernoff $\Rightarrow W$ contient k points avec forte probabilité

- ★ R un ensemble de demi-espaces.
- ★ $W \subseteq C$ deux sous-ensembles de \mathbb{R}^d
- ★ Pour tout $h \in R$, $h \cap P$ contient $W \cap P$ ou est contenu dans $C \cap P$.

On estime le nombre d'éléments de $\mathcal{H}^{(k)}(P)$ "produits" par R en conditionnant sur l'événement $|W \cap P| \geq k$.

Exemple : perturbation euclidienne des sommets du n -gone

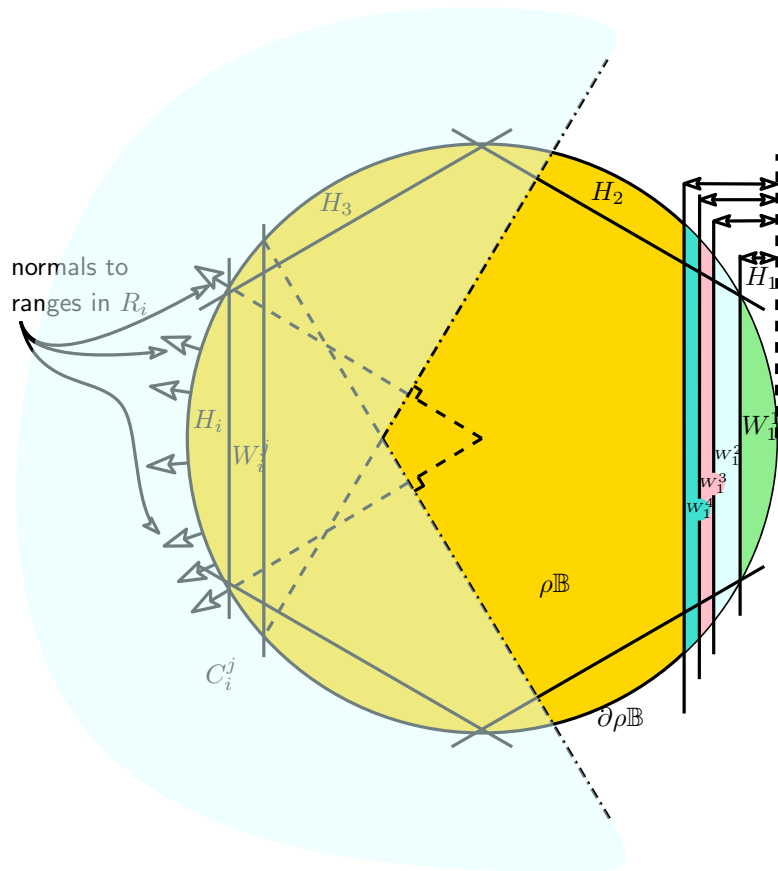


Ajuster les profondeurs de W et C afin que $\mathbb{E}[W \cap P] = k \log n$ et $\mathbb{E}[C \cap P] = O(\log n)$

Borne de Chernoff $\Rightarrow W$ contient k points avec forte probabilité

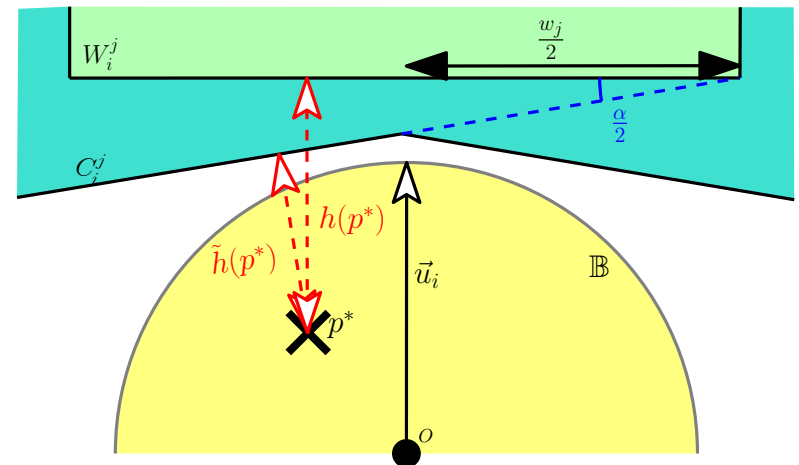
Nombre d'éléments de $\mathcal{H}^{(k)}(P)$ produits par R est $O(\log^k n)$.

Variante des *economic cap covers* [Bárány-Larman'88] reliant polytope aléatoires et corps flottants. Avantage : "locale en R ".



En réalité...

- ★ "surcharge" des W (pour Chernoff) $\Rightarrow \log n$ en excès.
- ★ se corrige par une hiérarchie de triplets (W^j, C^j, R) .
- ★ bornes de complexité lissées via argument de chargement.



Merci de votre attention.